

ДИФФУЗИОННАЯ МАГНИТНАЯ АНОМАЛИЯ НИКЕЛЯ В МОНОКРИСТАЛЛИЧЕСКОМ КРЕМНИСТОМ ЖЕЛЕЗЕ

© A. B. Покоеv, D. I. Степанов

Изучение явления диффузионной магнитной аномалии основные признаки которой сформулированы, например, в [1], представляет большой интерес для выяснения вопроса о степени влияния обменного взаимодействия на диффузионную подвижность атомов в ферромагнетиках. Анализ данных по примесной диффузии ^{63}Ni в железе и ее магнитной аномалии, содержащихся в [2] и обзорных работах [3–4] показывает, что измерения коэффициентов диффузии (КД) выполнены преимущественно на крупнозернистом поликристаллическом железе и фактор влияния структурного состояния железа на измерения не анализировался. В настоящей работе впервые радиометрическим методом выполнено измерение КД изотопа ^{63}Ni в монокристаллическом кремнистом железе.

Образцы вырезали из монокристаллов кремнистого железа (2.4 ат. % Si, суммарное содержание остальных примесей — не более 0.04 ат.%) в виде куба с ребром 10 мм и ориентацией рабочих поверхностей в направлениях [100] и [110]. Эти поверхности механически шлифовали, полировали и отжигали в вакууме $\approx 10^{-2}$ Па при температуре 1000°C в течение часа для снятия напряжений и стабилизации состояния. На подготовленные таким образом рабочие поверхности монокристаллов электролитически наносили тонкие слои никеля, содержащие изотоп ^{63}Ni , толщиной ≈ 0.05 мкм.

Диффузионные отжиги проводили в вакууме $\approx 10^{-3}$ Па. Продолжительность отжигов при каждой температуре подбирали таким образом, чтобы глубина зоны диффузии составляла 15–20 мкм.

Распределение радиоактивного изотопа ^{63}Ni в образцах после отжигов определяли методом радиометрического послойного анализа (метод интегрального остатка П. Л. Грузина [5]). Слои толщиной 0.5–2 мкм снимали путем механического шлифования до глубины 20–30 мкм. Толщину удаленных слоев определяли по убыли веса образца. Измерение интенсивности β -излучения изотопа проводили на анализаторе “Бета-1”, конструкция счетного устройства кото-

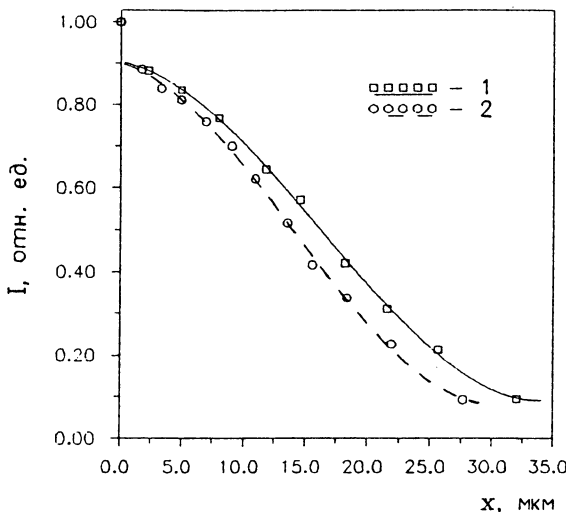


Рис. 1. Распределение относительной активности изотопа ^{63}Ni по глубине диффузии в монокристаллическом кремнистом железе после отжига при 740°C в течение 12 ч: 1 — ориентация [100], 2 — ориентация [110].

рого позволяла точно восстанавливать положение образца по отношению к счетчику после снятия очередного слоя.

Измерения выполнены в интервале температур 660 — 860°C , содержащем как ферромагнитную, так и парамагнитную области состояний кремнистого железа (точка Кюри $\approx 755^\circ\text{C}$), и времен диффузии 0.75—30 ч. Погрешность измерения КД составляла $\approx 6\%$.

На рис. 1 в качестве примера приведены типичные кривые распределения относительной активности I изотопа ^{63}Ni , пропорциональной концентрации никеля, по глубине диффузии x образцов с двумя различными ориентациями для температуры 740°C и времени отжига 12 ч. Экспериментальные точки этих распределений хорошо “укладываются” на прямые в координатах $\ln I - x^2$ (рис. 2), что свидетельствует о выполнении условий протекания диффузии из мгновенного источника диффузии и о механизме диффузии по объему решетки. На рис. 3 приведены аррениусовские температурные зависимости КД ^{63}Ni в монокристаллическом кремнистом железе вдоль кристаллографических ориентаций [100] и [110], построенные по экспериментальным данным настоящей работы. Как видно из рисунка, в области температур магнитного превращения графики температурных зависимостей КД изотопа испытывают резкий излом (диффузионная магнитная аномалия) и демонстри-

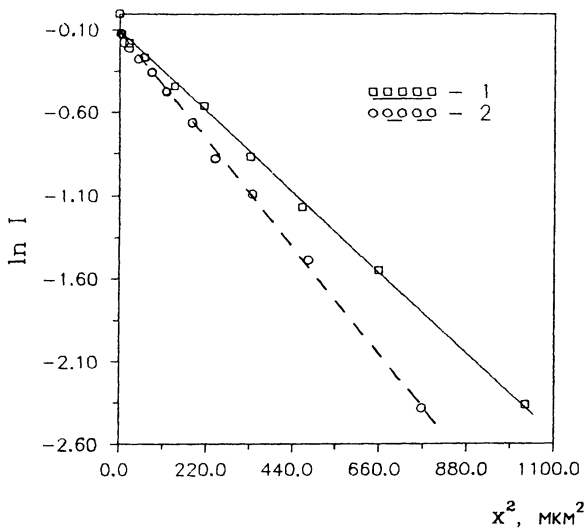


Рис. 2. Зависимость логарифма относительной активности от квадрата глубины проникновения изотопа ^{63}Ni в монокристаллическом кремнистом железе для отжига при 740°C в течение 12 ч: 1 — ориентация [100], 2 — ориентация [110].

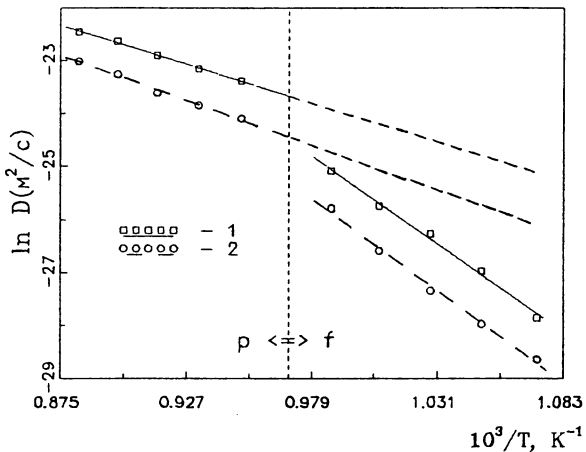


Рис. 3. Температурная зависимость коэффициента диффузии изотопа ^{63}Ni в монокристаллическом кремнистом железе: 1 — ориентация [100], 2 — ориентация [110].

рут заметную зависимость КД от кристаллографической ориентации (анизотропия диффузии). Рассчитанные методом наименьших квадратов температурные зависимости КД ^{63}Ni в монокристаллическом кремнистом железе для разных ориентаций имеют вид: для парамагнитной области —

$$D^{[100]} = 0.57 \begin{array}{l} +0.23 \\ -0.16 \end{array} \cdot 10^{-8} \exp\left(-\frac{(118.98 \pm 3.04) \text{ кДж/моль}}{RT}\right) \text{ м}^2/\text{с};$$

$$D^{[110]} = 0.22 \begin{array}{l} +0.23 \\ -0.11 \end{array} \cdot 10^{-7} \exp\left(-\frac{(137.11 \pm 6.47) \text{ кДж/моль}}{RT}\right) \text{ м}^2/\text{с};$$

для ферромагнитной области —

$$D^{[100]} = 0.083 \begin{array}{l} +0.264 \\ -0.063 \end{array} \exp\left(-\frac{(267.35 \pm 11.56) \text{ кДж/моль}}{RT}\right) \text{ м}^2/\text{с},$$

$$D^{[110]} = 0.19 \begin{array}{l} +0.40 \\ -0.13 \end{array} \exp\left(-\frac{(281.02 \pm 9.12) \text{ кДж/моль}}{RT}\right) \text{ м}^2/\text{с}.$$

Таким образом, результаты настоящей работы показывают, что в случае монокристаллических образцов кремнистого железа диффузионная магнитная аномалия имеет более резкий характер: если в случае поликристаллического железа величина изменения энергии активации при переходе температуры через область точки Кюри составляла $\Delta Q = 11.25 \text{ кДж/моль}$ [1], то в случае монокристаллов эта величина равна $\Delta Q^{[100]} = 148.37 \text{ кДж/моль}$ для ориентации [100] и $\Delta Q^{[110]} = 143.91 \text{ кДж/моль}$ для ориентации [110]. Подобные значения ΔQ (по нашим оценкам $\Delta Q \approx 110-140 \text{ кДж/моль}$) наблюдали в [6] при изучении диффузии цинка и олова в бикристаллах железа по границе наклона с осью [100] и углом разориентации 43° , содержащих 5 ат.% кремния. По-видимому, на величину магнитной аномалии ΔQ (излом аррениусовой зависимости КД) может оказывать влияние не только магнитный переход, но и структурное состояние среды диффузии, на что ранее не обращали внимания. Возможно, однако, что наблюдаемое изменение энергии активации диффузии связано также и с присутствием кремния. Однозначный ответ на вопрос о влиянии структурного фактора и наличия добавок кремния на величину эффекта диффузионной магнитной аномалии должны дать дополнительные исследования.

Список литературы

- [1] Kučera J., Kozak L., Mehrer H. // Phys. stat. sol. (a). 1984. V. 81. P. 497–505.
- [2] Hirano K., Cohen M., Averbach B.L. // Acta Met. 1961. V. 9. P. 440–445.
- [3] Kučera J., Stransky K. // Materials Science and Engineering. 1982. V. 52. P. 1–38.
- [4] Björn Jönsson // Z. Metallkd. 1992. V. 83. P. 349–355.
- [5] Грузин П.Л. // ДАН СССР. 1952. Т. 86. Б. 2. С. 289–292.
- [6] Rabkin E.I., Semenov V.N., Shvindlerman L.S., Straumal B.B. // Defect and Diffusion Forum. 1989. V. 66–69. P. 819–828.

Самарский
государственный университет

Поступило в Редакцию
9 января 1996 г.
